## (12) ОПИСАНИЕ ИЗОБРЕТЕНИЯ К ЕВРАЗИЙСКОМУ ПАТЕНТУ

(45) Дата публикации и выдачи патента

2020.01.29

(21) Номер заявки

201700582

(22) Дата подачи заявки

2017.12.21

(51) Int. Cl. *C09K 11/78* (2006.01) **C09K 11/55** (2006.01) **C09K 11/63** (2006.01) C09K 11/74 (2006.01)

## КРАСНОИЗЛУЧАЮЩИЙ ФОТОЛЮМИНОФОР ДЛЯ ЭКРАНОВ ПЛАЗМЕННЫХ ПАНЕЛЕЙ

(31) 2017143431

(32) 2017.12.12

(33) RU

(43) 2019.06.28

(71)(73) Заявитель и патентовладелец:

ФЕДЕРАЛЬНОЕ ГОСУДАРСТВЕННОЕ БЮДЖЕТНОЕ УЧРЕЖДЕНИЕ НАУКИ ОРДЕНА ТРУДОВОГО КРАСНОГО ЗНАМЕНИ ИНСТИТУТ ХИМИИ СИЛИКАТОВ ИМ. И.В. ГРЕБЕНЩИКОВА РОССИЙСКОЙ АКАДЕМИИ НАУК (ИХС РАН); ФЕДЕРАЛЬНОЕ ГОСУДАРСТВЕННОЕ БЮДЖЕТНОЕ ОБРАЗОВАТЕЛЬНОЕ УЧРЕЖДЕНИЕ ВЫСШЕГО ОБРАЗОВАНИЯ "САНКТ-ПЕТЕРБУРГСКИЙ

ГОСУДАРСТВЕННЫЙ УНИВЕРСИТЕТ" (СПбГУ) (RU)

**(72)** Изобретатель: Бубнова Римма Сергеевна, Шаблинский Андрей Павлович, Колесников Илья Евгеньевич, Галафутник Лидия Георгиевна, Кржижановская Мария Георгиевна, Поволоцкий Алексей Валерьевич, Филатов Станислав Константинович (RU)

(74) Представитель: Матвеев А.А., Матвеева Т.И., Леонов И.Ф. (RU)

(56) US-A1-20060208270 US-A1-20090214893 YU-CHENG HAO et al., PbCd2B6O12 and EuZnB5O10: syntheses, crystal structures and characterizations of two new mixed metal borates, CrystEngComm, 2014, 16, p.p. 7689-7695

Изобретение относится к светоизлучающим материалам для индикаторной техники, (57) конкретно к фотолюминофорам (Фл) для газоразрядных (плазменных) панелей (ПП), возбуждаемых постоянным и переменным полем, и способу получения такого люминофора. Заявленный красноизлучающий фотолюминофор состава  $Sr_3Bi_2(BO_3)_4:0.15Eu^{3+}$  обеспечивает самое интенсивное испускание среди всех изученных боратов и является перспективным красным люминофором.

Изобретение относится к светоизлучающим материалам для индикаторной техники, конкретно к фотолюминофорам (Фл) для газоразрядных (плазменных) панелей (ПП), возбуждаемых постоянным и переменным полем, и способу получения такого люминофора.

Актуальность проблемы в рассматриваемой области техники заключается в том, что на сегодняшний день технологии производства дисплеев нуждаются в новых материалах для плазменных панелей (plasma display panels PDPs), дисплеев с автоэлектронной эмиссией (field emission display FEDS) и электролюминесцентных панелей. Красные люминофоры используемые в современных плазменных панелях (например  $Y_2O_3$ : $Eu^{3+}$ ,  $(Y, Gd)BO_3$ : $Eu^{3+}$ ) имеют ряд недостатков.  $Y_2O_3$ : $Eu^{3+}$  обладает слабым испусканием, а  $(Y, Gd)BO_3$ : $Eu^{3+}$  излучает оранжево красный цвет вместо красного.

Для оценки новизны заявленного решения рассмотрим ряд известных технических средств аналогичного назначения, характеризуемых совокупностью сходных с заявленным устройством признаков.

Известен красноизлучающий фотолюминофор для экранов плазменной дисплейной панели по патенту №2236432 на основе ортоборатов редкоземельных элементов, который характеризуется тем, что в состав указанного люминофора дополнительно введены элементы III группы, взятые из пар Al, Ga и Sc, Yb, образующие общую стехиометрическую формулу в виде  $(Y_x, Gd_y, Eu_z, Ln_p)_1B_{1-q}Me_qO_3$ , где Ln = Sc, Yb, Me=Al и Ga, а стехиометрические индексы имеют значение:  $0,50 \le x \le 0,70,\ 0,22 \le y \le 0,38,\ 0,01 \le z \le 0,10,\ 0,02 \le p \le 0,05,\ 0,02 \le q \le 0,10,\ притом,$  что указанный состав интенсивно возбуждается в области  $BV\Phi$  с соотношением основных линий излучения  $\lambda_{592}/\lambda_{628} = 2:1$  до 1:2.

Оптико-физическая сущность данного технического решения заключается в том, что фотолюминесценция иттрий-гадолиний-европиевых ортоборатов возрастает при введении в их состав даже небольших количеств иона скандия Sc, что приводит к росту яркости  $\Phi$ л. Возможная причина подобного явления, по-видимому, заключается в уменьшении параметров элементарной ячейки ортобората и соответственно в возрастании параметров кристаллического поля фотолюминофора. Последнее явление обуславливает увеличение вероятности излучения с  $^5D_{0.1,2}$  - возбужденных уровней иона  $Eu^{+3}$ , что сопровождается ростом яркости  $\Phi$ л. Также было обнаружено, что дополнительно вводимый в состав  $\Phi$ л ион иттербия  $Yb^{+3}$  уменьшает вероятность излучения с верхних переходов  $^5D_2$ ,  $^5D_1$  иона  $Eu^{+3}$ , перераспределяя часть возбужденной энергии в состоянии  $^5D_0$ , которое является более насыщенно красным, чем излучение с верхних возбужденных уровней  $^5D_1$  и  $^5D_2$ .

Известен красный люминофор для плазменных дисплейных панелей  $Sr_3Y_2(BO_3)_4$  (SYB) активированный Еи+3, который для улучшения цветности получен путем термического разложения нитратов по соответствующей методике, подробно исследованы его спектры фотолюминесценции, см. (L. He, Y. Wang, J. Alloys Cotp. 431 (2007) 226. Doi: 10.1016/j.jallcom.2006.05.047). При возбуждении 254 нм или 147 нм фосфоры  $Sr_3Y_2(BO_3)_4$ : Ен показали сильное красное излучение при 612 нм, соответствующее электрическому дипольному  ${}^5D_0$ - ${}^7F_2$ -переходу  $Eu^{3+}$ . Это связано с тем, что  $Eu^{3+}$ , замещающий  $Y^{3+}$ , занял нецентросимметричное положение в кристаллической структуре Sr<sub>3</sub>Y<sub>2</sub>(BO<sub>3</sub>)<sub>4</sub>. Концентрация тушения Sr<sub>3</sub>Y<sub>2</sub>(BO<sub>3</sub>)<sub>4</sub>:Eu составляет 10% при возбуждении 234 нм по данным (Y. Zhang, Y. Li, Alloys Compd. 384 (2004) 88, http://dx.doi.org/10.1016/j.jallcom.2004.04.081), 15% при возбуждении 254 нм и 5% при 147 нм возбуждении по данным (L. He, Y. Wang. J. Alloys Сотр. 431 (2007) 226. Doi: 10.1016/ j.jallcom. 2006.05.047). По сравнению с (Y, Gd)  $BO_3$ :Eu,  $Sr_3Y_{1.95}Eu_{0.05}(BO_3)_4$  имеет хорошую чистоту цвета (x=0,640, у=0,359), а его интенсивность фотолюминесценции составляет 40% от значения (Y, Gd)ВО<sub>3</sub>:Eu. Интенсивность фотолюминесценции была улучшена на 40 и 60% соответственно после того, как  $La^{3+}$  и  $Al^{3+}$ были совместно легированы в  $Sr_3Y_2(BO_3)_4$ :Еи. Из этого сделан вывод, что  $Sr_3Y_2(BO_3)_4$ :Еи<sup>3+</sup> является перспективным красным вакуумным ультрафиолетовым (VUV) люминофором для плазменных дисплеев (PDP).

Данное техническое решение, как наиболее близкое к заявленному по техническому существу и достигаемому результату, принято в качестве его прототипа.

Недостатком данного вещества является неустойчивая оптимальная концентрация европия, так данные авторов (Zhang, 2004; He, Wang, 2007) существенно отличаются (на 5%) для небольшой области спектров 20 нм, а также высокая стоимость входящих в его состав редкоземельных элементов.

Задачей заявляемого изобретения является оптимизация концентрации европия в красноизлучающем люминофоре, а также применение менее дорогостоящих компонентов. Оптимальная концентрация иона активатора достигнута как в прототипе. При этом присутствует оранжевая полоса люминесценции в соотношении около 1:2 к красной. На этом фоне снижение стоимости за счёт замены РЗИ является основным преимуществом.

Сущность заявленного технического решения выражается в следующей совокупности существенных признаков, достаточной для решения вышеуказанной задачи изобретения.

Согласно изобретению красноизлучающий фотолюминофор для экранов плазменных панелей на основе боратов редкоземельных элементов, характеризуется тем, что он синтезирован в виде бората  $Sr_3Bi_2(BO_3)_4$ : $xEu^{3+}$  (0.015 $\le$ x $\le$ 0.18), кристаллическая структура матрицы которого состоит из изолированных треугольных радикалов  $BO_3$ , при этом в кристаллографически неэквивалентных катионных позициях M1, M2 и M3 расположены атомы Sr и Bi.

В структуре присутствуют три независимых атома В в треугольной координации. Длина связи B-O в треугольниках  $BO_3$  изменяется в интервале от 1.32 до 1.39 Å, а средняя длина связи B-O составляет 1.345 Å и является типичной для изолированных треугольников  $BO_3$ . Треугольники  $BO_3$  расположены преимущественно в плоскости сb и окружены тремя катионными позициями M1, M2 и M3, заселенными атомами M3 и M3 и M3 в M3 и M3 и M3 в M3 и M3 в M3 и M3 в M3 и M3 в M3 и M3 и M3 в M3 и M3 и

Заявленная совокупность существенных признаков обеспечивает достижение технического результата, который заключается в том, что заявленный нами красноизлучающий фотолюминофор состава  $Sr_3Bi_2(BO_3)_4:0.15Eu^{3+}$  обеспечивает самое интенсивное испускание среди всех изученных боратов серии  $Sr_3Bi_2(BO_3)_4:Eu^{3+}$ . На основании этого можно заключить, что  $Sr_3Bi_2(BO_3)_4:0.15Eu^{3+}$  является перспективным красным люминофором.

Сущность заявляемого технического решения поясняется графическими материалами, где на фиг. 1 представлена кристаллическая структура  $Sr_3Bi_2(BO_3)_4$  в сопоставлении с сечениями фигур тензора термического расширения: сплошной линией показано сечение при температуре  $25^{\circ}$ C, а штриховой при  $700^{\circ}$ C, на фиг. 2 - окружение катионов и сочленение полиэдров в кристаллической структуре  $Sr_3Bi_2(BO_3)_4$ , на фиг. 3 -двумерная картина терморентгеновского эксперимента для  $Sr_3Bi_2(BO_3)_4$ , на которой штриховая линия при  $520^{\circ}$ C обозначает начало кристаллизации  $SrBi_2O(BO_3)_2$ , штриховая линия при  $740^{\circ}$ C - начало распада фазы  $Sr_3Bi_2(BO_3)_4$ , а звездочками обозначены пики фазы  $SrBi_2O(BO_3)_2$ , на фиг. 4 - зависимости параметров элементарной ячейки от температуры: а  $-Sr_3Bi_2(BO_3)_4$ , б -  $(Sr_{0.5}Ba_{0.5})_3Bi_2(BO_3)_4$ , на фиг. 5 - спектры люминесценции  $Sr_3Bi_2(BO_3)_4$ :  $Eu^{3+}$  при накачке 393 нм (в полосу поглощения  $Eu^{3+}$ ), на фиг. 6 - зависимость интегральной интенсивности люминесценции от концентрации  $Eu^{3+}$  для  $Sr_3Bi_2(BO_3)_4$ :  $Eu^{3+}$ .

Новое соединение  $Sr_3Bi_2(BO_3)_4$  и серия допированных европием боратов  $Sr_3Bi_2(BO_3)_4$ : $Eu^{3+}$  были синтезированы методом кристаллизации из расплава в условиях  $1200^{\circ}C/15$  мин с последующем охлаждении с печью.

В качестве исходных веществ для синтеза использовались  $SrCO_3$ ,  $BaCO_3$ ,  $H_3BO_3$ ,  $Eu_2O_3$  (все осч) и  $Bi_2O_3$  (хч). Синтез проводился в керамических и платиновых тиглях, а также на платиновых крышках. После смешивания шихта прессовалась под нагрузкой 90-100 кг/см<sup>3</sup>.

После смешивания шихта прессовалась под нагрузкой 90-100 кг/см $^3$ . Допирование  $Sr_3Bi_2(BO_3)_4$  атомами  $Eu^{3+}$ . Данный борат был допирован  $Eu^{3+}$  в довольно широких пределах по формуле  $(Sr_{1-3y/2}Eu_v)_3Bi_2(BO_3)_4$ :/ $Eu^{3+}$  ( $y=0.0015;\ 0.0075,\ 0.015,\ 0.045,\ 0.09,\ 0.12,\ 0.15,\ 0.18$ ). Для всех составов следует отметить наличие аморфной фазы на рентгенограммах, что говорит о метастабильности данной фазы.

Рентгенофазовый анализ образцов был проведен на порошковом дифрактометре Bruker AXS D2 Phaser с монохроматизированным излучением  $CuK_{\alpha 1+\alpha 2}$ . Образцы содержали основную кристаллическую фазу  $Sr_3Bi_2(BO_3)_4$  и аморфную фазу.

Монокристальный эксперимент.

Определена кристаллическая структура нового бората  $Sr_3Bi_2(BO_3)_4$  и твердого раствора  $Sr_3Bi_{1.66}Eu_{0.34}(BO_3)_4$ , допированного европием. Монокристаллы получили плавлением стехиометричной пробы. Рентгеноструктурный анализ проводили на дифрактометрах Bruker "Smart APEX" и Bruker "Карра APEX DUO" с использованием монохроматизированного МоК $\alpha$  излучения. Параметры элементарной ячейки уточняли методом наименьших квадратов. Массив интенсивностей был проинтегрирован, затем вводились поправки на фактор Лоренца, поляризацию и фоновое излучение с использованием программ APEX и XPREP. Поправка на поглощение введена в программе SADABS. Структуры решены методом изменения знака заряда (charge flipping) и уточнены в программе Jana 2006.

Описание кристаллической структуры Sr<sub>3</sub>Bi<sub>2</sub>(BO<sub>3</sub>)<sub>4</sub>.

Структура уточнена в центросимметричной пространственной группе Pnma, хотя ранее бораты этого семейства с формулой  $Sr_3Ln_2(BO_3)_4$  уточнялись в нецентросимметричной пространственной группе Pna2 $_1$  в работах (Палкина и др., 1972; 1973; Абдулаев и др., 1973; Абдулаев, Мамедов, 1974; Zhang, Li, 2004). Следует заметить, что в последних работах (Reuther, 2013; Höeppe et al., 2013), как и в нашем случае, структуры ряда  $Sr_3Ln_2(BO_3)_4$  (Ln = Gd, Ho, Er) были уточнены в пространственной группе Pnma.

Координация катионов.

В структуре присутствуют три независимых атома В в треугольной координации. Длина связи B-O в треугольниках  $BO_3$  изменяется в интервале от 1.32 до 1.39 Å, а средняя длина связи B-O составляет 1.345 Å и является типичной для изолированных треугольников  $BO_3$ . Треугольники  $BO_3$  расположены преимущественно в плоскости сb и окружены тремя катионными позициями M1, M2 и M3, заселенными атомами B0 в B1 (фиг. 1). Параметры анизотропных атомных смещений для атомов кислорода относительно большие из-за того, что катионы разупорядочены по трем позициям. Попытки расщепить атомы кислорода во время уточнения не привели к успеху.

Каждая из трех катионных позиций M1, M2 и M3 заселена атомами Sr и Bi. Позиция M1 координирована восемью атомами кислорода с длинами связей 2.47-3.02 Å, длина следующей связи составляет 3.59 Å; эта позиция заселена ~ 80% Sr и 20 % Bi. Позиция M2, заселенная ~ 60% Sr и 40% Bi, окружена также восемью атомами кислорода с длинами связей 2.42-2.94 Å; следующая связь M2-O 3.21 Å. Поли-

эдр М3 является восьмивершинником с длинами связей 2.41-2.56 Å, следующая связь 3.89 Å; эта позиция заселена на  $\sim 80\%$  Ві и 20% Sr. Окружение катионов и сочленение полиэдров показано на фиг. 2. Связанные через вершины и ребра, полиэдры М1, М2 и М3 формируют цепочки (колонны) вдоль оси b (фиг. 2). Такие цепи, соединяясь друг с другом, формируют трехмерный каркас, как это показано b (Zhang, Li, b004; Reuther, b013). Анализ валентных усилий, сходящихся на катионах, показал хорошую сходимость b000 формальной валентностью атомов, отклонения не превышали b17.

Высокотемпературная порошковая рентгенография.

Термическое поведение  $Sr_3Bi_2(BO_3)_4$  изучали порошковой терморентгенографией в температурном интервале 25-800°C с шагом 25°C. Измерение проводили в атмосфере воздуха на дифрактометре Rigaku Ultima IV (Си $K\alpha$ -излучение). Проба подготовлена осаждением из гептановой суспензии на Pt-Rh подложку. Параметры решетки при каждой температуре рассчитаны в программе Тораs. Фигуры коэффициентов термического расширения построены с помощью программы Theta To Tensor (Бубнова и др., 2013).

Фазовые превращения.

Двумерная картина терморентгеновского эксперимента представлена на фиг. 3. Образец изначально содержал фазу  $Sr_3Bi_2(BO_3)_4$  и аморфную фазу. До 500°C никаких изменений на дифракционной картине не происходит: дифракционные пики не исчезают и не появляются, не меняется и их интенсивность. При температуре, приблизительно равной 520°C, из аморфной фазы начинает кристаллизоваться  $SrBi_2O(BO_3)_2$ , а интенсивность дифракционных пиков фазы  $Sr_3Bi_2(BO_3)_4$  начинает понижаться. Резкое снижение интенсивности пиков этой фазы происходит при ~740°C, хотя пики  $Sr_3Bi_2(BO_3)_4$  не исчезают до 800°C.

Термическое расширение.

На фиг. 4 показана зависимость параметров решетки от температуры. Зависимость имеет изгиб для разных параметров при температуре  $\sim$ 500°C, поэтому параметры решетки были независимо аппроксимированы в интервалах 25-500 и 500-725°C. Аппроксимацию проводили полиномами второй степени: a<sub>t</sub>=7.5318+0.105·10<sup>-3</sup>t+0.004·10<sup>-6</sup>t², b<sub>t</sub>=16.3364+0.200·10<sup>-3</sup>t+0.205·10<sup>-6</sup>t², c<sub>t</sub>=8.8275+0.059·10<sup>-3</sup>t+0.033·10<sup>-6</sup>t², V<sub>t</sub>=1086.0+0.0356t+0.0000243t² для 25-500°C и a<sub>t</sub>=7.6037-0.222·10<sup>-3</sup>t+0.0412·10<sup>-6</sup>t², b<sub>t</sub>=16.2553+0.444·10<sup>-3</sup>t + 0.015·10<sup>-6</sup>t², c<sub>t</sub>=8.8539+0.072·10<sup>-3</sup>t-0.093·10<sup>-6</sup>t², V<sub>t</sub>=1094.6+0.0056t+0.0000504t² для 500-725°C. Главные значения коэффициентов термического расширения были вычислены в программе Theta To Tensor (Бубнова и др., 2013) и приведены в табл. 1.

Таблица 1. Коэффициенты термического расширения  $Sr_3Bi_2(BO_3)_4$  при разных температурах

Температура,	0	300	500	600	700
°C					
$\alpha_a$				35.7(3)	
$a_b$	12(1)	19.7(3)	25(1)	28.0 (3)	28(1)
$a_c$	7(1)	9.0(2)	10(1)	<b>-4</b> (1)	-7(2)
$a_V$	37(1)	46(1)	54(1)	59(1)	68(2)

Сопоставление термического расширения с кристаллической структурой. Как было сказано ранее, катионы в структуре разупорядочены по трем позиция M1, M2 и M3 таким образом, что позиции M1 и M2 заселены в основном атомами Sr, а позиция M3 - атомами Bi. В структуре твердого раствора  $Sr_{1.35}Ba_{1.65}Bi_2(BO_3)_4$  позиции M1 и M3 расщеплены, а позиция M2 заселена атомами Ba. Распределение катионов по позициям связано в основном с размерным фактором, т.е. меньшие катионы входят в меньшую позицию, а большие - в большую. С повышением температуры, за счет увеличения параметров атомного смещения, частично стираются различия между катионами, а размер позиций в кристаллической структуре наоборот возрастает, что, как правило, приводит к перераспределению катионов. На зависимости параметров элементарной ячейки от температуры (фиг. 4), при  $\sim 500^{\circ}$ С видны перегибы, или особые точки. Структурную природу появления таких точек впервые описал Г.Б. Бокий (Бокий, 1956), связав их с перераспределением катионов по позициям с температурой. Стоит отметить, что при температуре 520°С происходит также кристаллизация фазы  $SrBi_2O(BO_3)_2$ , что может влиять на характер термического расширения.

Соответственно, можно предположить, что при  $\sim 500^{\circ}\text{C}$  может происходить перераспределение катионов в ряду твердых растворов  $Sr_3Bi_2(BO_3)_4$ - $Ba_3Bi_2(BO_3)_4$ . Такие же перегибы на зависимостях параметров от температуры наблюдались для соединения  $Ba_3Bi_2(BO_3)_4$ , изученного в (Volkov et al., 2013). Для редкоземельного аналога  $Sr_3Gd_2(BO_3)_4$  изученных твердых растворов в работе (Reuther, 2013) была уточнена кристаллическая структура с использованием синхротронного излучения при комнатной температуре и при  $700^{\circ}\text{C}$ . В этом соединении катионы перераспределяются по позициям, это проявляется на зависимостях параметров ячейки от температуры. Хотя следует отметить, что кристаллическая структура не совсем корректно уточнена при высоких температурах, что проявляется в не реалистичных длинах связей для борокислородных треугольников  $BO_3$ .

Изменение характера термического расширения может быть также обусловлено возрастанием анизотропии колебаний атомов с температурой. Резкая анизотропия термического расширения объясняется предпочтительной ориентировкой борокислородных треугольников в кристаллической структуре (Filatov, Bubnova, 2015). В структуре плоскость борокислородных треугольников близка по ориентировке к плоскости сb. В этой плоскости термическое расширение минимально, а по нормали к ней максимально. Это согласуется с принципами высокотемпературной кристаллохимии боратов, которые изложены в работах (Бубнова, Филатов, 2008; Bubnova, Filatov, 2013). Возможно также, что возрастание анизотропии колебаний приводит к сдвигам треугольников BO<sub>3</sub> и более преимущественной параллельной ориентировке относительно плоскости cb.

Люминесценция.

В материалах, активированных REE, всегда наблюдается эффект концентрационного тушения люминесценции, в связи с чем должна быть выявлена оптимальная концентрация европия в матрице. Для того чтобы ее определить, необходимо синтезировать и исследовать концентрационную серию.

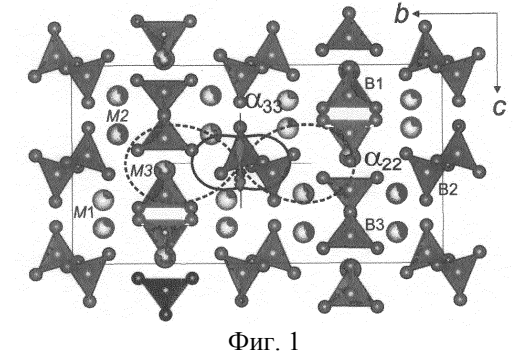
Для соединения  $Sr_3Bi_2(BO_3)_4$ , допированного  $Eu^{3+}$ , нами была синтезирована такая серия. Для восьми образцов  $Sr_3Bi_2(BO_3)_4$ : у $Eu^{3+}$ , допированных атомами  $Eu^{3+}$ , были измерены спектры люминесценции при накачке в полосу поглощения  $Eu^{3+}$  (фиг. 5). Зависимость интегральной интенсивности люминесценции от концентрации Eu по замещению Sr представлена на фиг. 6. Как видно из фиг. 6, оптимальная концентрация европия находится в области 15 ат.%. Этот результат соизмерим по оптимальной концентрации европия в алюмо-иттриевом гранате (16%) и в оксиде иттрия (12%).

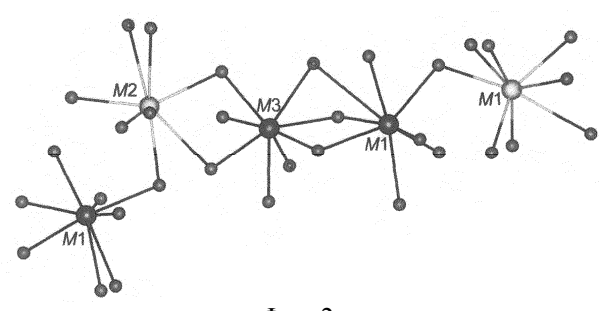
Новый перспективный красный фосфор  $Sr_3Bi_2(BO_3)_4$ : $Eu^{3+}$  был получен кристаллизацией из расплава. Была решена кристаллическая структура нового соединения  $Sr_3Bi_2(BO_3)_4$  и твердого раствора  $Sr_3Bi_{1.66}Eu_{0.34}(BO_3)_4$ , допированного европием, и уточнена в ромбической пространственной группе Pnma. Структура состоит из изолированных треугольников  $BO_3$  и 7-, 8- и 8-координированных позиций M1, M2 и M3. Тепловое расширение  $Sr_3Bi_2(BO_3)_4$  максимально вдоль оси а.

Спектры фотолюминесценции  $Sr_3Bi_2(BO_3)_4$ : $Eu^{3+}$  демонстрируют линии, характерные для ионов  $Eu^{3+}$ . В спектре излучения преобладает вынужденный электрический дипольный переход  $^5D_0$ - $^7F_2$  с максимумом при 611 нм. Было установлено, что оптимальная концентрация допирования европием  $Sr_3Bi_2(BO_3)_4$  составляет 15 ат.%, что сопоставимо с YAG и  $Y_2O_3$ . Было установлено, что среднее значение времени жизни составляет 1.73 мс, независимо на концентрацию допирования.

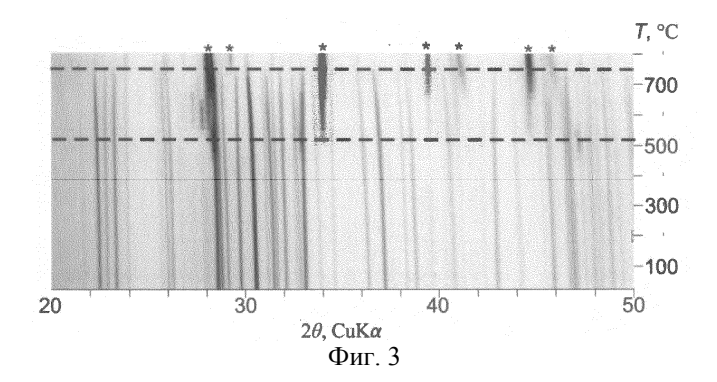
## ФОРМУЛА ИЗОБРЕТЕНИЯ

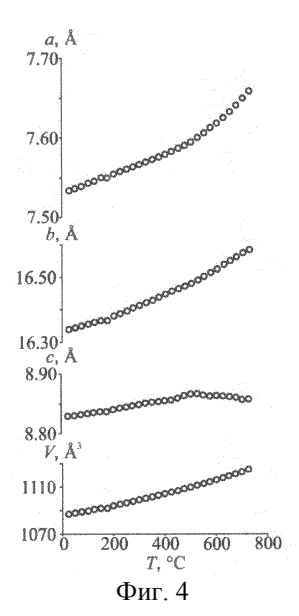
Красноизлучающий фотолюминофор для экранов плазменных панелей на основе боратов редкоземельных элементов, отличающийся тем, что он синтезирован в виде бората  $Sr_3Bi_2(BO_3)_4:Eu^{3+}$  (0.015 $\leq$ x $\leq$ 0.18), кристаллическая структура матрицы которого состоит из изолированных треугольных радикалов  $BO_3$ , а в кристаллографически неэквивалентных катионных позициях M1, M2u M3 расположены атомы Sr и Bi: позиция M1 координирована с восемью атомами кислорода и заселена на 80 ат.% Sr и 20 ат.% Bi; позиция M2 окружена восемью атомами кислорода и заселена на 60 ат.% Sr и 40 ат.% Bi; позиция полиэдр M3 представлена восьмивершинником и заселена на 80 ат.% Sr.

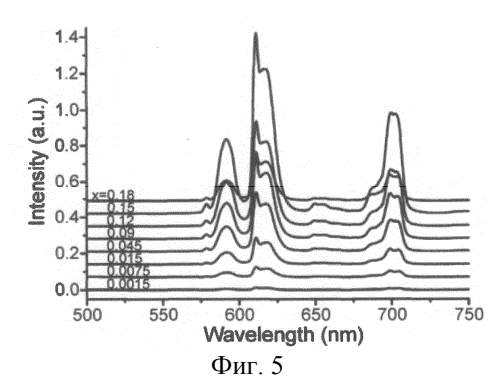


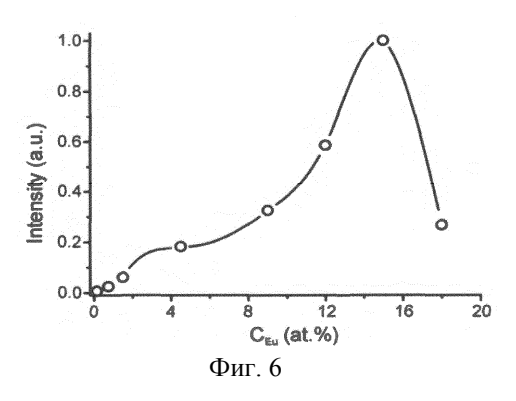


Фиг. 2









1

Евразийская патентная организация, ЕАПВ

Россия, 109012, Москва, Малый Черкасский пер., 2